

## 6. РЕЗУЛЬТАТЫ ЧИСЛЕННЫХ ЭКСПЕРИМЕНТОВ

### 6.0. ОБОЗНАЧЕНИЯ

#### 1) СЕТКИ

Введем на отрезке  $[0, 1]$

- равномерную сетку

$$\{\bar{\omega} = x_i = ih, \quad i = 0, \dots, n\}_0$$

с шагом

$$h = \frac{1}{n};$$

- кусочно-равномерную сетку

$$\hat{\omega} = \left\{ x_i = \begin{cases} ih_1, & i = 0, \dots, n_1, \\ \delta + (i - n_1)h_2, & i = n_1, \dots, n \end{cases} \right\}$$



рис. 6.0

где

$$\delta = \min \left\{ \varepsilon, \frac{1}{n}, \frac{n_1}{n} \right\},$$

$\varepsilon$  - некоторая постоянная,

$$h_1 = \frac{\delta}{n_1}, \quad h_2 = \frac{1 - \delta}{n_2}, \quad h_{12} = \frac{h_1 + h_2}{2},$$

$$n = n_1 + n_2,$$

$$\text{weight} = \frac{n_1}{n_2}.$$

Пусть  $\omega$  и  $\hat{\omega}$  - соответствующие сетки из внутренних узлов.

Заметим, что т.к. величина  $\delta$  мала, то на рисунках отрезок

$[0, \delta]$  растянут, причем в последней строке рисунка указан масштаб соотношения длин на отрезках  $[0, \delta]$  и  $[\delta, 1]$ .

### II) РАЗНОСТНЫЕ УРАВНЕНИЯ

На введенных сетках будем рассматривать следующие уравнения:

1.

$$\varepsilon y_{\bar{x}\bar{x}} + y_x = -F,$$

$$\varepsilon (Py_x)_{\bar{x}} + R y_x = -F;$$

2.

$$\varepsilon y_{\bar{x}\bar{x}} + \frac{1}{2} (y_x + y_{\bar{x}}) = 0;$$

3.

$$\varepsilon y_{\bar{x}\bar{x}} + \frac{h}{2h} y_x + \frac{h_+}{2h} y_{\bar{x}} = 0.$$

Данная нумерация соответствует нумерации схем в таблицах и на рисунках.

### III) СЕТОЧНЫЕ ФУНКЦИИ

В качестве результатов расчетов приводятся значения следующих сеточных функций:

$u(x_i)$  - решения дифференциальной задачи в узлах сетки,

$y_i$  - решения сеточной задачи,

$z_i = y_i - u(x_i)$  - погрешности решения.

Также приводятся значения

$$z_{\max 1} = \max_{0 \leq i \leq n_2} |z_i|,$$

$$z_{\max 2} = \max_{n_2 < i \leq n} |z_i|,$$

$$z_{\max} = \max_{0 \leq i \leq n} |z_i|$$

и  $I_{max 1}, I_{max 2}, I_{max}$  - номера узлов, в которых достигаются соответствующие максимумы.

### 6.1. ОДНОРОДНОЕ УРАВНЕНИЕ С ПОСТОЯННЫМИ КОЭФФИЦИЕНТАМИ

Рассмотрим на  $[0, 1]$  задачу

$$\begin{aligned} \varepsilon u'' + u' &= 0, & 0 < x < 1, \\ u(0) &= 1, & u(1) &= 0. \end{aligned}$$

В решении этой задачи

$$u(x) = \frac{e^{-\frac{x}{\varepsilon}} - e^{-\frac{1}{\varepsilon}}}{1 - e^{-\frac{1}{\varepsilon}}}$$

в окрестности точки  $x=0$  возникает пограничный слой с быстро меняющимся решением.

Рис. 6.1 и 6.2 показывают, что сеточное решение, получаемое по схеме с центральной разностью на равномерной сетке

$$\varepsilon y_{\bar{x}\bar{x}} + y_{\bar{x}} = 0, \quad x \in \omega,$$

при  $\varepsilon = 10^{-4}$ ,  $n_1=15$  и  $n_2=16$  не имеет ничего общего с решением нашей дифференциальной задачи.

Посмотрим теперь результаты расчетов этой задачи по схеме 1 на кусочно-равномерной сетке

$$\varepsilon y_{\bar{x}\bar{x}} + y_{\bar{x}} = 0, \quad x \in \hat{\omega}.$$

Рис. 6.3 и табл. 1 показывают поведение  $y_i, u(x_i)$  и  $x_i$  в узлах сетки при  $\varepsilon = 10^{-4}, n_1 = 5, n_2 = 15$ . С помощью табл. 2 можно просле-

дуть, как изменяется  $\mathcal{L}_{max}$  при изменении  $\varepsilon$  и  $n_2$ . Эти результаты подтверждают сделанный в разделе 3 вывод о сходимости схемы с центральной разностью на кусочно-равномерной сетке с порядком  $\left(\frac{\varepsilon n_1}{n_2}\right)^2$ .

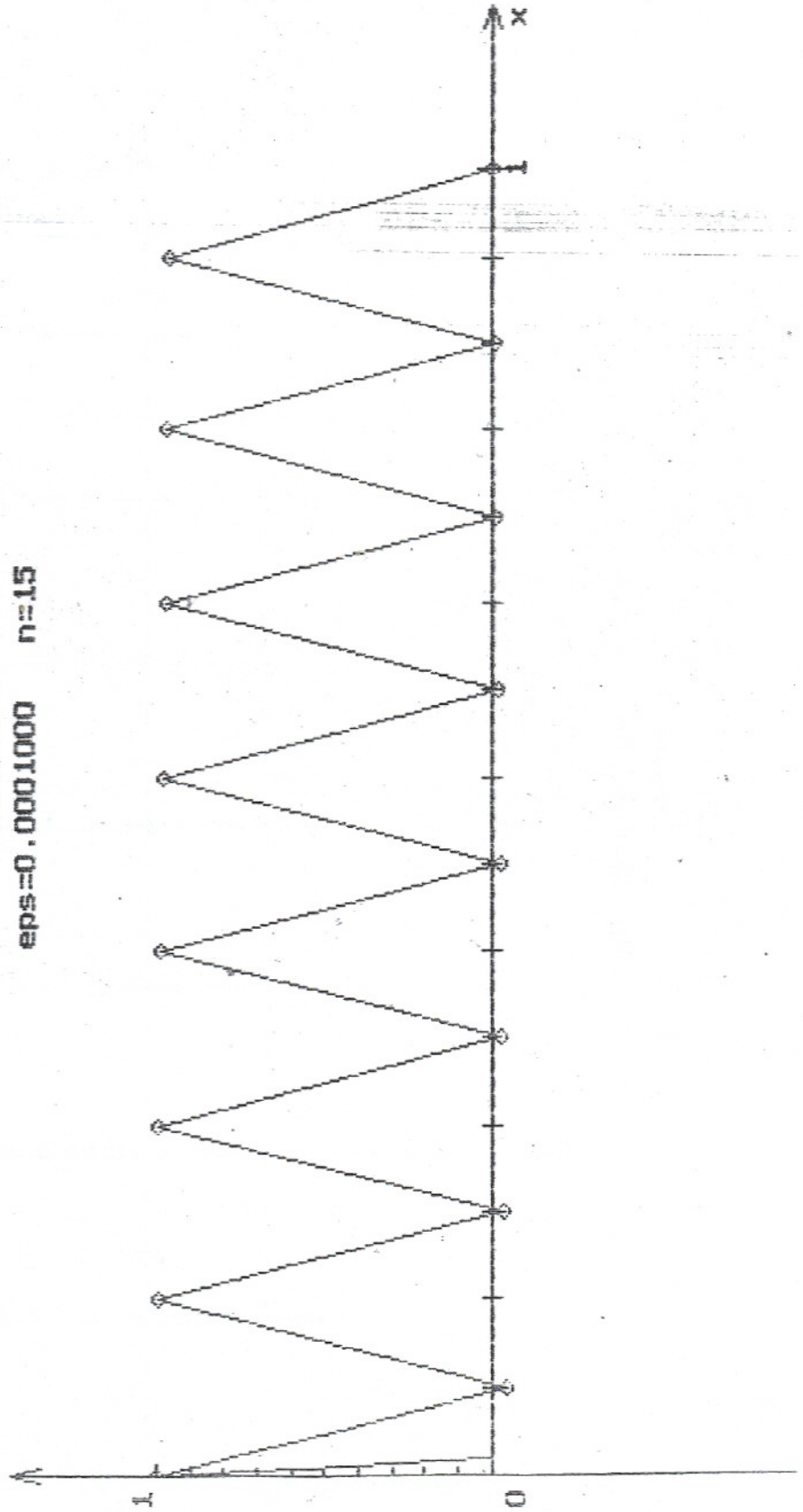
Рассмотрим еще две схемы на кусочно-равномерной сетке:

$$2. \quad \varepsilon y_{\bar{x}\bar{x}} + \frac{1}{2} (y_x + y_x) = 0, \quad x \in \hat{\omega},$$

$$3. \quad \varepsilon y_{\bar{x}\bar{x}} + \frac{h}{2h} y_x + \frac{h_+}{2h} y_{\bar{x}} = 0, \quad x \in \hat{\omega}$$

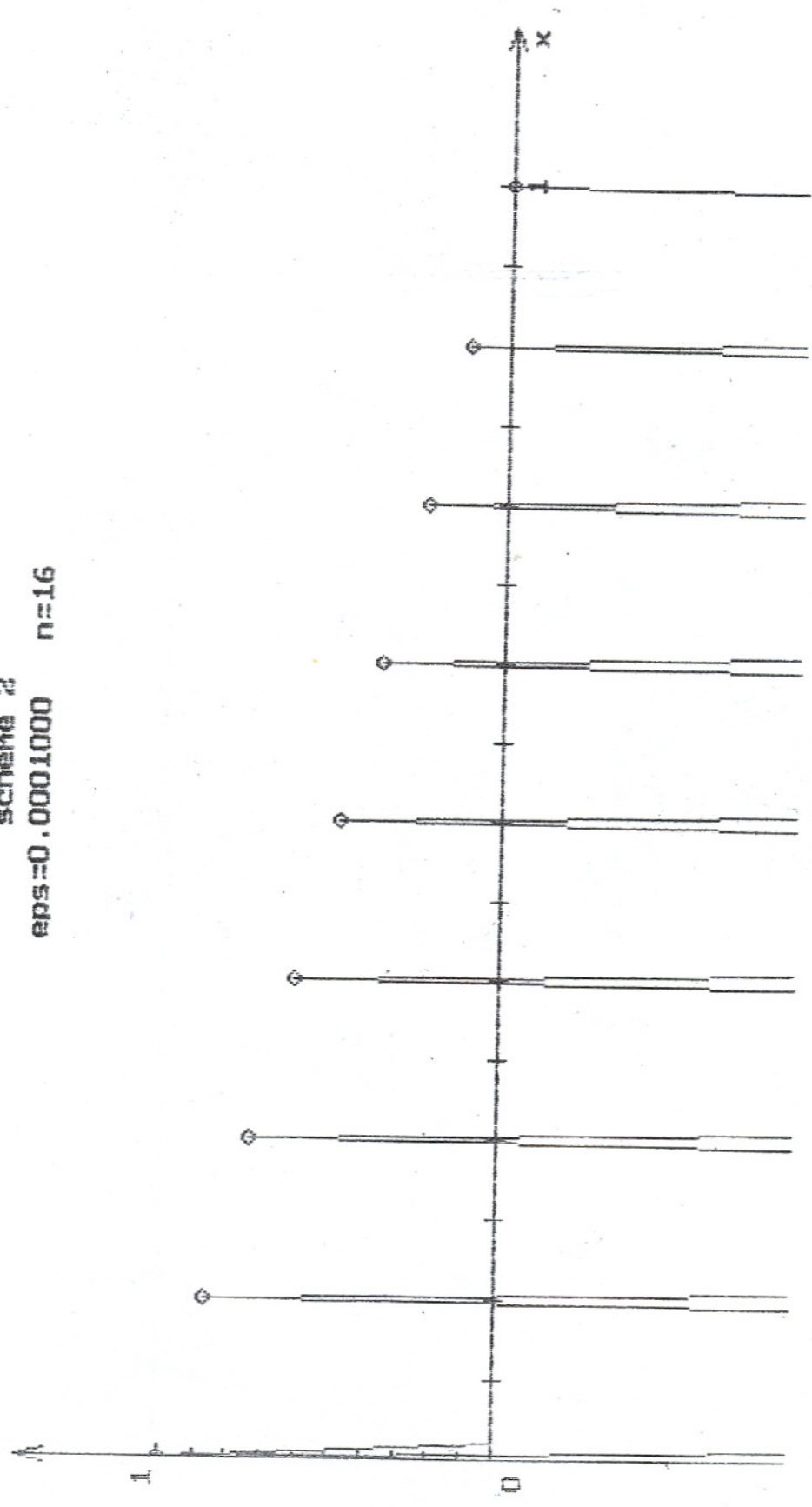
Эти схемы отличаются от схемы 1 лишь в узле  $n_2$ . Однако сеточные решения, получаемые по этим схемам, не имеют ничего общего с решением дифференциальной задачи. Этот обоснованный в разделе 3 факт иллюстрирует рис. 6.4, на котором изображены графики  $u(x)$  и  $y_i$  при  $\varepsilon = 10^{-4}$ ,  $n_1 = 5$ ,  $n_2 = 15$ .

scheme 2  
eps=0.0001000 n=15



picture 6.1

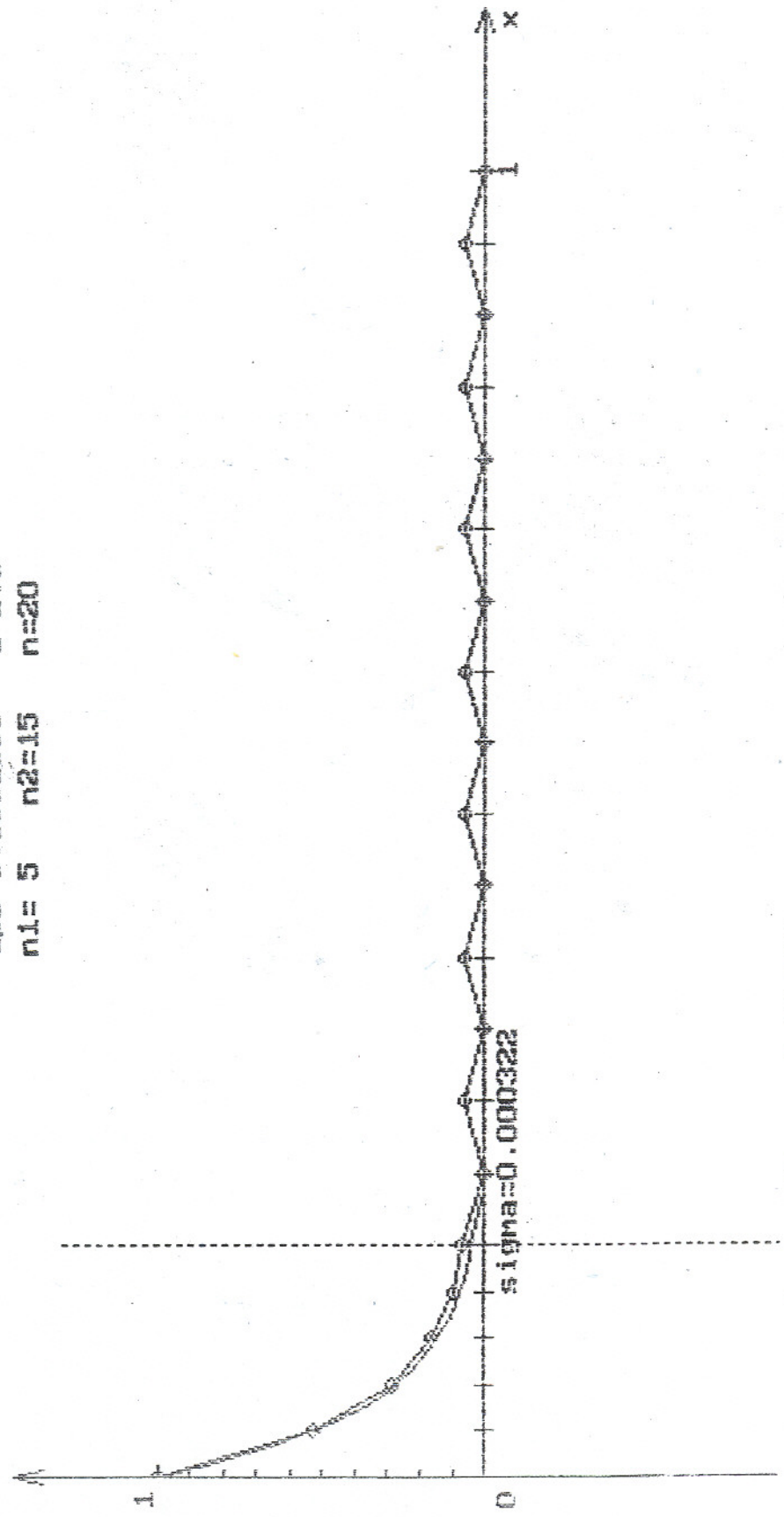
scheme 2  
eps=0.0001000 n=16



picture 6.2



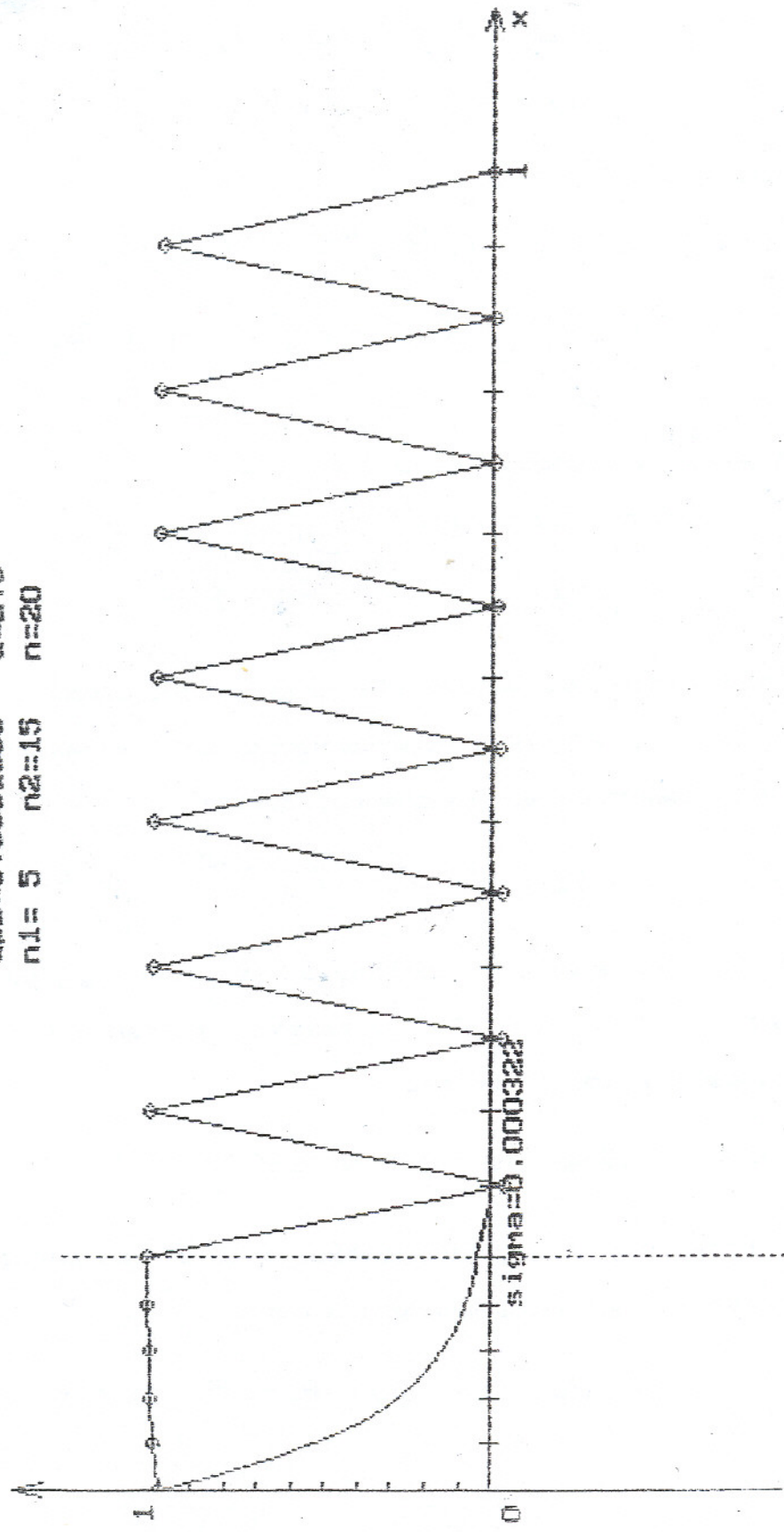
scheme 1  
eps=0.0001000 c=2.0  
n1= 5 n2=15 n=20



1 : 15\*eps=0.001500

picture 6.3

scheme 2  
eps=0.0001000 c=2.0  
n1= 5 n2=15 n=20



1 : 15#eps=0.001500

picture 6.4



### 6.2. НЕОДНОРОДНОЕ УРАВНЕНИЕ С ПОСТОЯННЫМИ КОЭФФИЦИЕНТАМИ

Рассмотрим на отрезке  $[0, 1]$  задачу

$$\varepsilon u'' + u' = u - f, \quad 0 < x < 1,$$

$$u(0) = 0, \quad u(1) = 0$$

с правой частью

$$f(x) = 5 \varepsilon x \left[ \left( \left( \frac{\pi}{2} x \right)^2 - 6 \right) \cos \frac{\pi}{2} x + 6 x \frac{\pi}{2} \sin \frac{\pi}{2} x \right] + \\ + 5 x^2 \left[ \frac{\pi}{2} x \sin \frac{\pi}{2} x - 3 \cos \frac{\pi}{2} x \right],$$

график которой изображен на рис. 6.5.

Решение этой задачи

$$u(x) = 5 x^3 \cos \frac{\pi}{2} x$$

- гладкая функция, не имеющая пограничного слоя.

Посмотрим результаты расчетов этой задачи по схеме с центральной разностью на равномерной сетке

$$\varepsilon y_{\bar{x}\bar{x}} + y_x = -F, \quad x \in \omega.$$

Табл. 3 показывает, как изменяется величина  $L_{max}$  при уменьшении  $\varepsilon$  в случаях  $n=15$  и  $n=16$ . Эти результаты подтверждают сделанные в разделе 4 выводы: при  $n=16$

$$\lim_{\varepsilon \rightarrow 0} L_{max} = \infty.$$

Сравним это с результатами расчетов по схеме с центральной разностью на кусочно-равномерной сетке

$$\varepsilon y_{\hat{x}\hat{x}} + y_{\hat{x}} = -F, \quad x \in \hat{\omega}.$$

С помощью рис. 6.8 и табл. 4 можно проследить поведение  $u_\varepsilon$ ,  $u(x_\varepsilon)$  и  $z_\varepsilon$  в узлах сетки при  $\varepsilon = 10^{-4}$ ,  $n_1 = 5$ ,  $n_2 = 16$ .

Для полноты картины рассмотрим задачу

$$\varepsilon u'' + u' = -f, \quad 0 < x < 1,$$

$$u(0) = 1, \quad u(1) = 0.$$

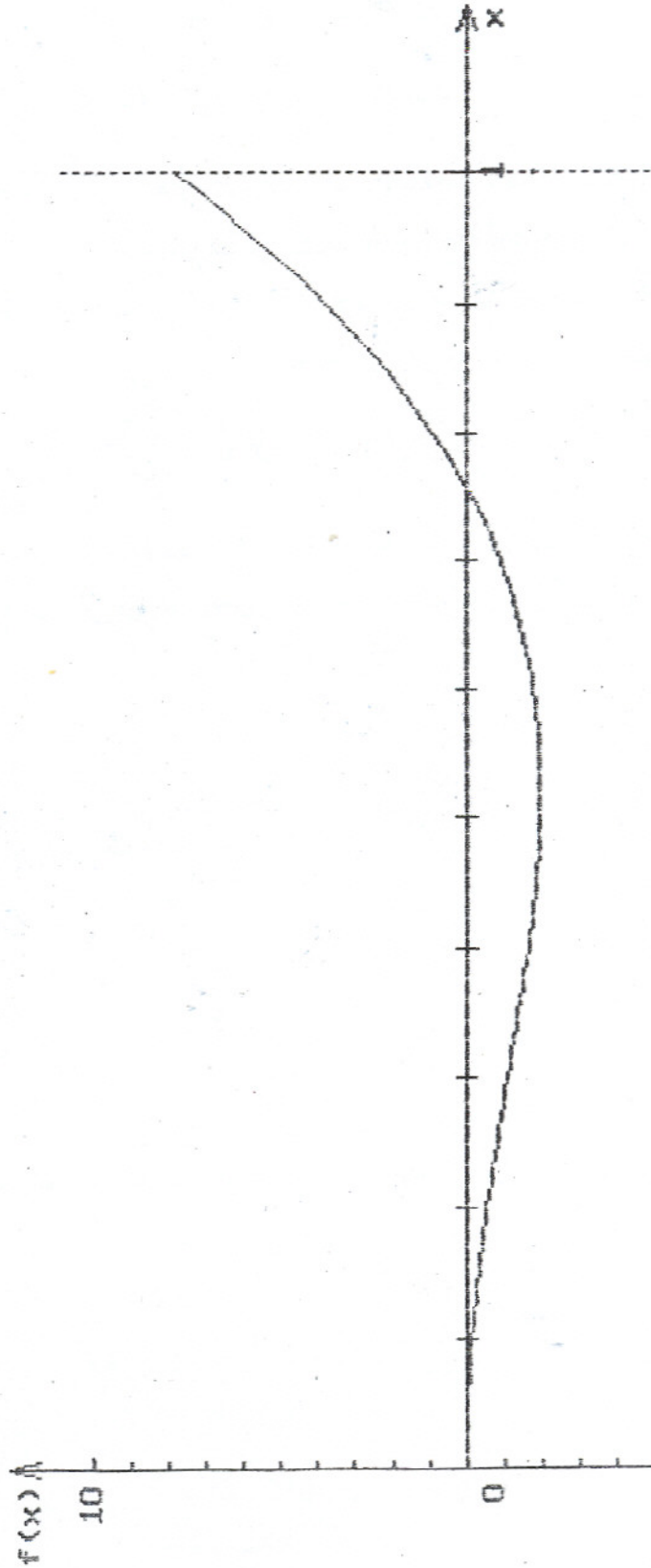
Решение этой задачи содержит как ненулевую гладкую составляющую, так и пограничную составляющую.

Расчеты этой задачи по схеме с центральной разностью на кусочно-равномерной сетке

$$\varepsilon y_{\hat{x}\hat{x}} + y_{\hat{x}} = -F, \quad x \in \hat{\omega}$$

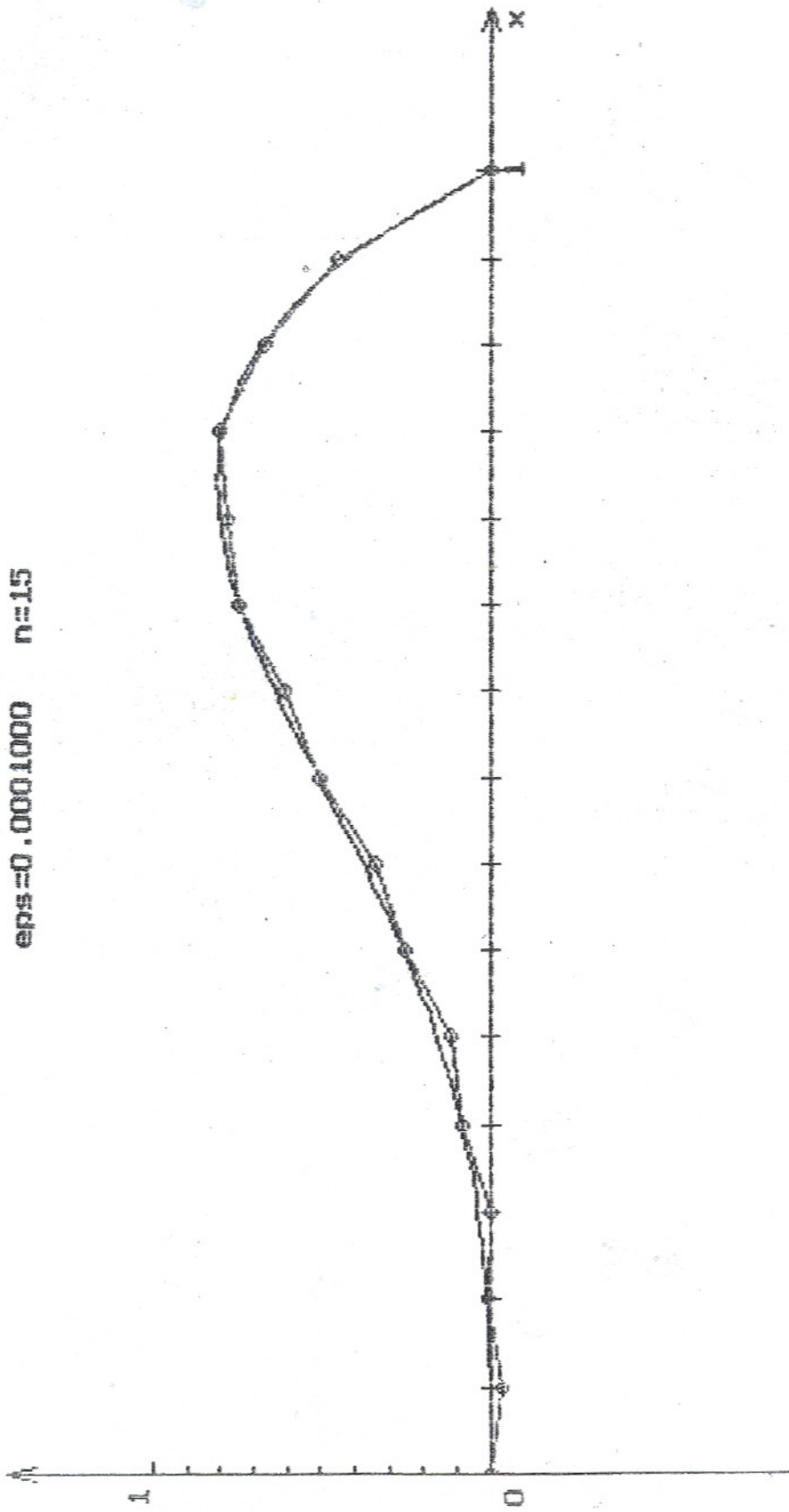
при различных  $\varepsilon$ ,  $n_1$ ,  $n_2 = 10, 15, 20, 30$  (рис. 6.9, табл. 5-8) показывают равномерную по  $\varepsilon$  сходимость схемы.

$$\begin{aligned} f(x) = & \\ & = 5x^{x^2} \left( x^{\frac{\pi}{2}} \sin\left(\frac{\pi x}{2}\right) - 3 \cos\left(\frac{\pi x}{2}\right) \right) + \\ & + 5 \operatorname{erps}^{x^2} \left( 6x^{\frac{\pi}{2}} \sin\left(\frac{\pi x}{2}\right) + \right. \\ & \left. + (x^{\frac{\pi}{2}} \pi^{1/4} - 6) \cos\left(\frac{\pi x}{2}\right) \right) \end{aligned}$$



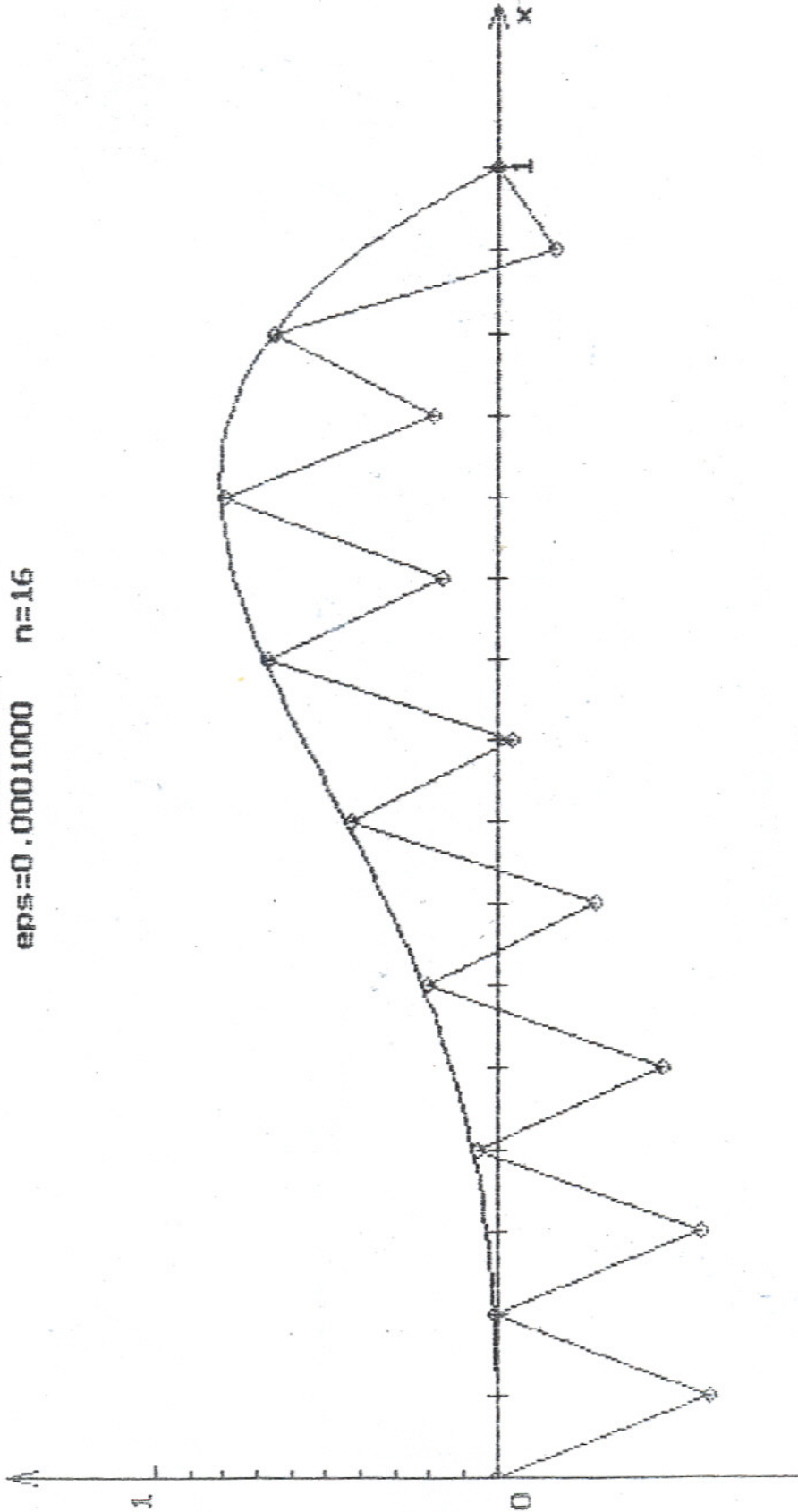
picture 6.5

scheme 2  
eps=0.0001000 n=15



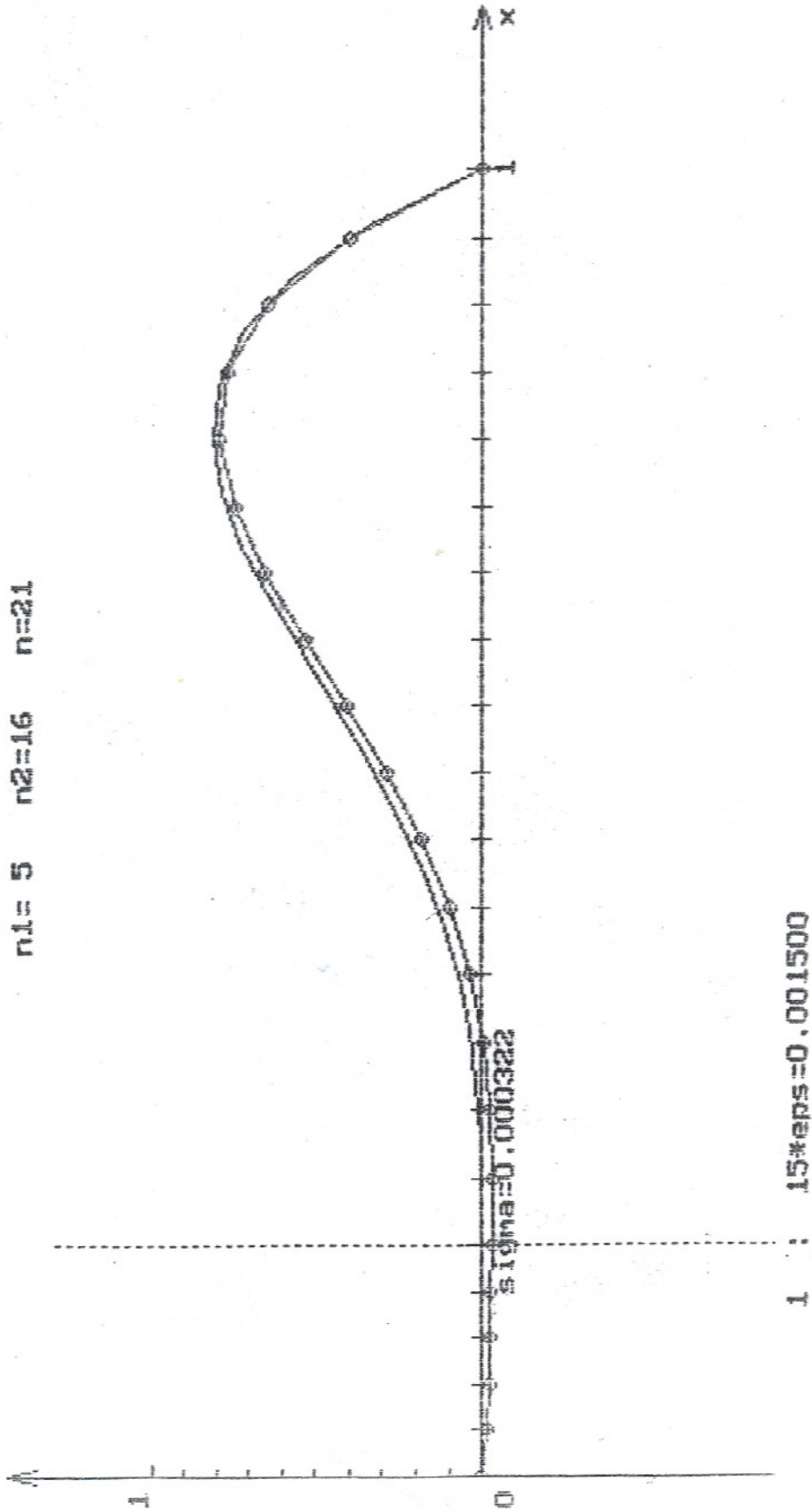
picture 6.6

scheme 2  
eps=0.0001000 n=16



picture 6.7

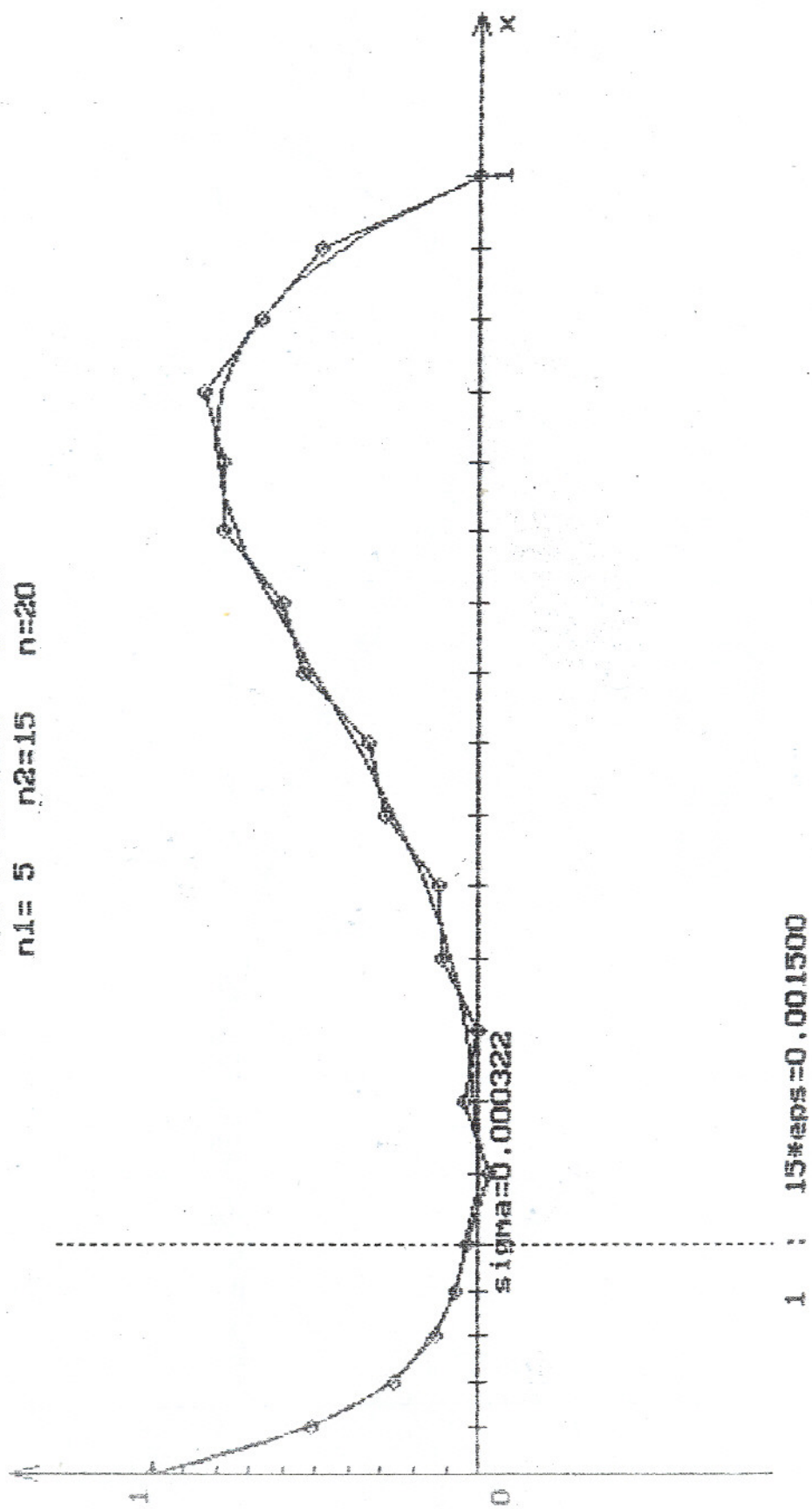
scheme 1  
eps=0.0001000 c=2.0  
n1= 5 n2=16 n=21



picture 6.8



scheme 1  
eps=0.0001000 c=2.0  
n1= 5 n2=15 n=20



1 : 15\*eps=0.001500

picture 6.9

### 6.3. УРАВНЕНИЕ С ПЕРЕМЕННЫМИ КОЭФФИЦИЕНТАМИ

Рассмотрим задачу на отрезке  $[0,1]$

$$\varepsilon u'' + r(x) \cdot u' = -f(x), \quad 0 < x < 1,$$
$$u(0) = 1, \quad u(1) = 0$$

при

$$r(x) = \frac{1}{x+1}.$$

Будем вести расчеты этой задачи по схеме

$$\varepsilon y_{\bar{x}\bar{x}} + R y_{\bar{x}} = -F, \quad x \in \hat{\omega}$$

на кусочно-равномерной сетке.

Значения  $\lambda_{max}$  при  $f(x) = 0$ ,  $n_2 = 15$  различных  $\varepsilon$  и  $n_1$  приведены в табл. 9,

при

$$f(x) = 5\varepsilon x \left[ \left( \left( \frac{\pi}{2} x \right)^2 - 6 \right) \cos \frac{\pi}{2} x + 6x \frac{\pi}{2} \sin \frac{\pi}{2} x \right] +$$
$$+ \frac{5x^2}{x+1} \left[ \frac{\pi}{2} x \sin \frac{\pi}{2} x - 3 \cos \frac{\pi}{2} x \right],$$

$n_2 = 15, 30$ , различных  $\varepsilon$  и  $n_1$  - в табл. 10.

Эти результаты подтверждают обоснованную в разделе 5 сходимость схемы с центральной разностью на кусочно-равномерной сетке.